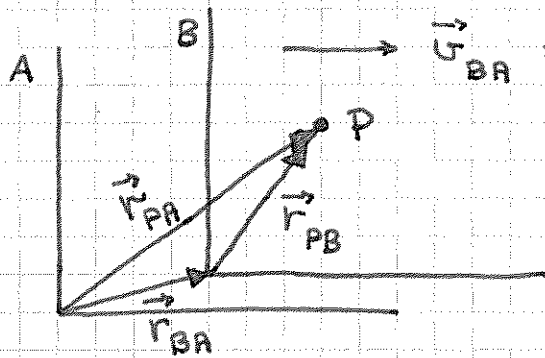


[YF 3.5 + 4.2, LL 1.9 + 2.7]

 $\vec{v}_{BA}$  = hastighet til B målt i A

A: labsystem (i ro)

B: system i bevegelse

P: objekt

Ser at:  $\vec{r}_{PA} = \vec{r}_{PB} + \vec{r}_{BA}$

Dermed:  $\vec{v}_{PA} = \vec{v}_{PB} + \vec{v}_{BA}$  og  $\vec{a}_{PA} = \vec{a}_{PB} + \vec{a}_{BA}$

Hvis  $\vec{v}_{BA} = \text{konst.}$ , måles samme aks. for P i A og B,  
 $\vec{a}_{PA} = \vec{a}_{PB}$  ( $\vec{a}_{BA} = 0$ )Da er A og B inertialsystemer relativt hverandre.N1 gjelder kun i et inertialsystem.Hvis ytre kraft  $\vec{F}$  virker på P, vil samme ligning (fysiske lov),  $\vec{F} = m\vec{a}$  (med  $\vec{a}_{PA} = \vec{a}_{PB} = \vec{a}$ ), beskrive observert bevegelse til P i både A og B.Dette er i tråd med relativitetsprinsippet:

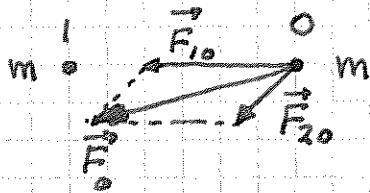
Fysikkens lover må ha samme form i alle inertialsystemer.

Fordi roterer, om egen akse og omkring sola.Jordas overflate er derfor bare et tilnærmet inertialsystem.I roterende system oppløves krefter pga rotasjonen:  
sentrifugalkraft og corioliskraft

Mer om dette senere.

## Superposisjonsprinsippet (SPP) [YF 4.1]

(17)



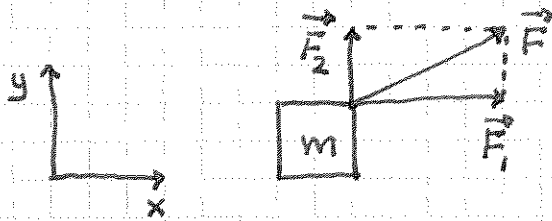
Netto kraft på masse 0

$$\text{fra 1 og 2: } \vec{F}_0 = \vec{F}_{10} + \vec{F}_{20}$$

$\Rightarrow$  Masse 0 får akselerasjon

$$\vec{a}_0 = \frac{1}{m} \vec{F}_0 = \frac{1}{m} \sum_j \vec{F}_{j0}$$

"Omvendt" kan vi dermed dekomponere:



$$\vec{a} = \vec{F}/m$$

$$\Rightarrow \ddot{x} = F_1/m, \quad \ddot{y} = F_2/m$$

## Newtons lover, anvendelser [YF 5, LL 3]

Strategi:

- Finn alle ytre krefter  $\vec{F}_i$  som virker på legemet
- Tegn figur: kraftdiagram ("free body diagram")
  - legemets omgivelser representeres av krefter på legemet (tyngde  $m\vec{g}$ , snordrag  $\vec{S}$ , friksjon  $\vec{f}$ , normalkraft  $\vec{N}$ , ...)
  - tegn alle ytre krefter en gang
  - pil starter der  $\vec{F}_i$  angriper
  - pilenes lengde prop. med  $|\vec{F}_i|$
- Velg hensiktsmessig koord. system
- Bruk N2,  $\vec{a} = \sum_i \vec{F}_i / m$  (ert N1,  $\sum_i \vec{F}_i = 0$ )

# Friksjon [YF 5.3, LL 3.1]

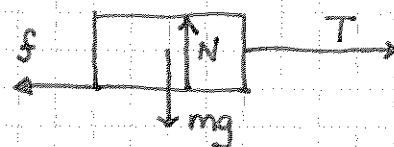
(18)

- Kontaktkrefter, rettet mot (potensiell) relativ bevegelse
- Ønsket (bremse bil) og uønsket (energitap i motor)
- Skiller gjerne mellom tørr og våt friksjon

## Tørr friksjon



Kraft-diagram:



Statisk friksjon (kloss i ro):

$$N \Rightarrow f = T$$

$$\text{Empirisk: } f_{\max} = \mu_s \cdot N \quad (\text{Her: } f_{\max} = \mu_s \cdot mg)$$

Kinetisk friksjon (kloss i bevegelse):

$$f = \mu_k \cdot N$$

$\mu_k$ ,  $\mu_s$  er friksjonskoeffisienter

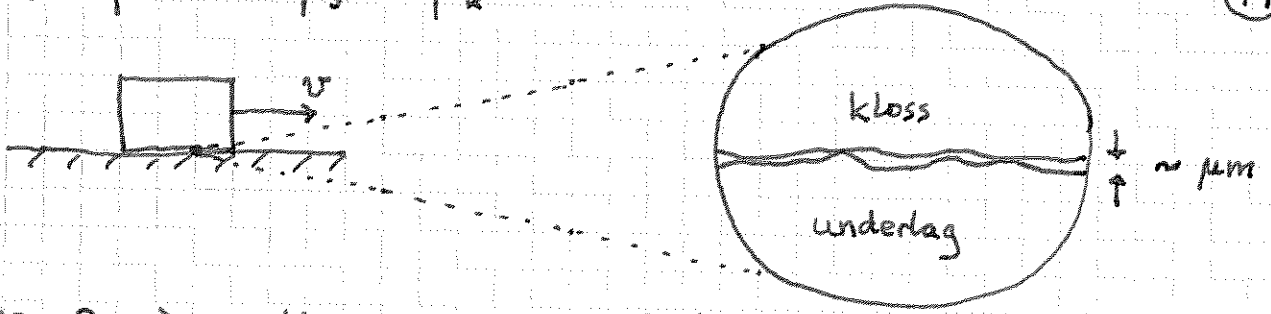
$$[\mu_k] = [\mu_s] = 1 \quad (\text{dim.løse})$$

Noen typiske tallverdier:

<u>materialer</u>	<u><math>\mu_s</math></u>	<u><math>\mu_k</math></u>
tre mot tre	0.25-0.50	0.2
gummi mot tørr asfalt	1.0	0.8
—— " —— våt —— " ——	0.30	0.25

Hvorfor er  $\mu_s > \mu_k$ ?

(19)

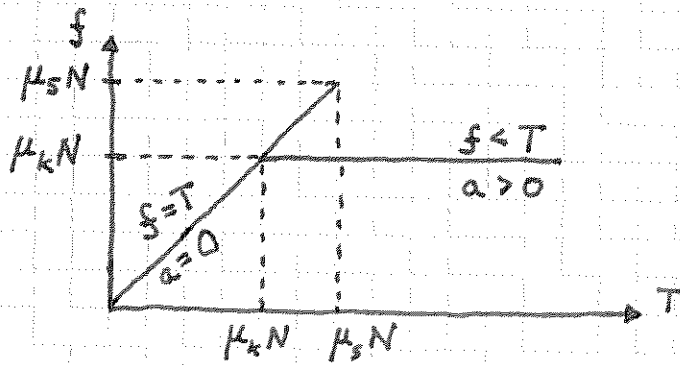


$v = 0 \Rightarrow$  godt grep mellom flatene

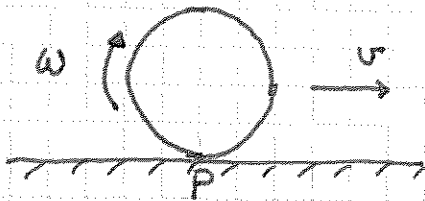
$v > 0 \Rightarrow$  tendens til å flyte oppå

$\Rightarrow \mu_s > \mu_k$

Dermed, for  $f(T)$ :



Rulling:



Ren rulling: kontaktpunkt P i ro, tilnærmet null friksjonsarbeid,  $f \leq \mu_s N$

Sluring: P i bevegelse relativt underlaget,  $f = \mu_k N$

# Friksjon i gasser og væsker (røt friksjon) [YF 5.3]

20



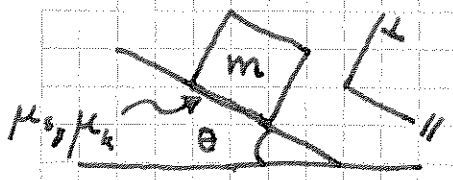
antar legeme rotasjonssymmetrisk mhp  $\vec{v}$ -aksen

- Liten hastighet  $v$ :  
Pen ("laminaer") strømnig av fluidet rundt legemet,  $\vec{f}_L = -k\vec{v} = -kv\hat{v}$   
(Kan utledes fra Newtons lover)

Eks: Kule,  $f_L = 6\pi\eta Rv$ , der  $R$  = kulas radius og  $\eta$  = fluidets viskositet

- Stor  $v$ :  
Turbulent strømnig,  $\vec{f}_L = -Dv^2\hat{v}$  ("drag")  
(empirisk)

## Eks 1: Kloss på skråplan



- Friksjonskraft  $f$ , i ro? i bevegelse?
- Minimal  $\mu_s$  for kloss i ro?
- Akselerasjon,  $a_{||}$ , hvis  $\mu_s$  for liten?

Løsning:

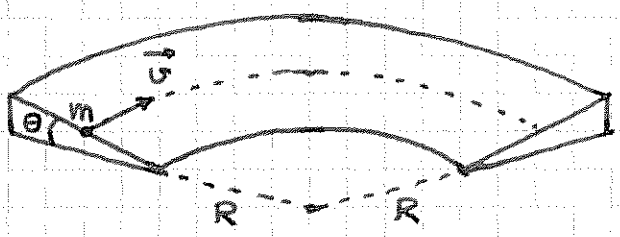
- I ro:  $\sum F_{||} = 0 \Rightarrow f = mg \sin \theta$
- I bevegelse:  $f = \mu_k N = \mu_k mg \cos \theta$
- $f \leq \mu_s N \Rightarrow \mu_s^{\min} = f/N = mg \sin \theta / mg \cos \theta = \tan \theta$
- Hvis  $\theta > \arctan \mu_s$ :  $a_{||} = \sum F_{||} / m = (mg \sin \theta - \mu_k mg \cos \theta) / m = g(\sin \theta - \mu_k \cos \theta)$

Hitt  
10.09.12

11.09.12

# Eks 2: Kjøring i dosert sving [YF 5.4, LL 3.4]

(21)

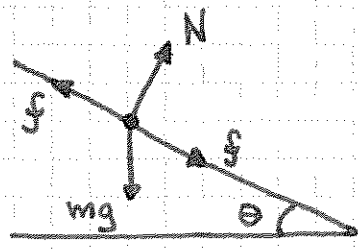


- $\theta$  = doseringsvinkel
- $R$  = krumningsradius
- $m$  = bilens masse
- $\mu$  = statisk friksjonskoeff. (gummi/asfalt)

Oppg: Finn  $v_{min}$ ,  $v_{max}$  slik at bilen ikke glir hbr inn, ut. ( $\Rightarrow$  uniform sirkelbeveg.)  
 Finn og skisser  $N(v)$  og  $f(v)$ .

Løsning:

Kraftdiagram:

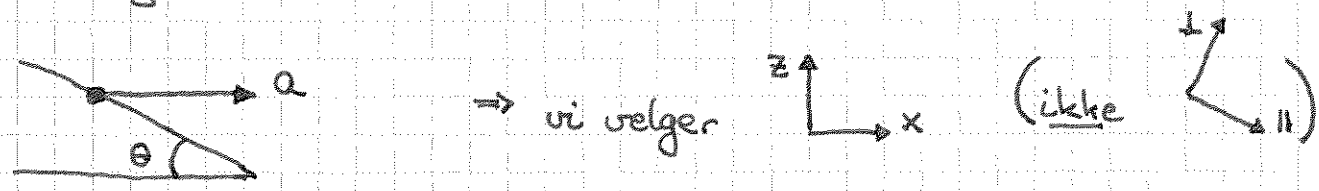


$$f_{max} = \mu N$$

Liten  $v \Rightarrow$  potensiell beregelse innover  $\Rightarrow \vec{f}$  utover  
 Stor  $v \Rightarrow$  utover  $\Rightarrow \vec{f}$  innover

Hensiktsmessig koord. system:

Akselerasjon ved uniform sirkelbevegelse:  $a = v^2/R$ , med retning inn mot sirkelens sentrum



Braker  $N_2$ , med kjent aks.  $\vec{a} = \hat{x} v^2/R$ :

$$\vec{N} + \vec{f} + m\vec{g} = (m v^2/R) \hat{x}$$

der

$$\vec{N} = N \sin\theta \hat{x} + N \cos\theta \hat{z}$$

$$\vec{f} = \pm f \cos\theta \hat{x} \mp f \sin\theta \hat{z}$$

$$m\vec{g} = -mg \hat{z}$$

(~~stor~~ ~~liten~~  $v$ )

$$\Sigma F_x = ma_x \Rightarrow N \sin \theta \pm f \cos \theta = mv^2/R \quad (1) \quad (22)$$

$$\Sigma F_z = 0 \Rightarrow N \cos \theta \mp f \sin \theta - mg = 0 \quad (2)$$

Med  $f = f_{\max} = \mu N$  gir dette  $v_{\max}$  og  $v_{\min}$ , med hhv øvre og nedre fortegn. Ta f.eks. (1)/(2):

$$v_{\max/\min} = \sqrt{gR \frac{\sin \theta \pm \mu \cos \theta}{\cos \theta \mp \mu \sin \theta}} = \sqrt{gR \frac{\tan \theta \pm \mu}{1 \mp \mu \tan \theta}}$$

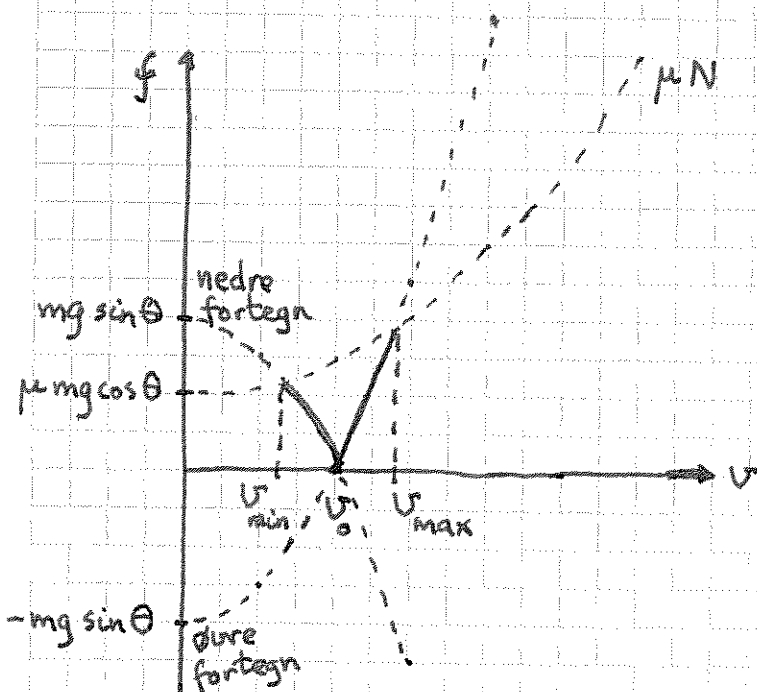
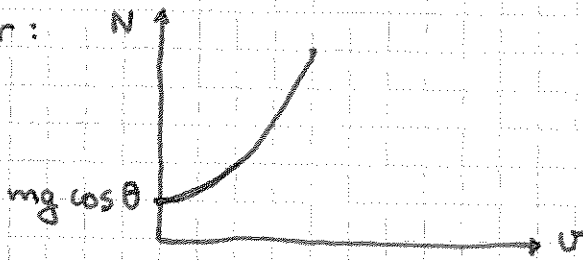
For gitt  $v$  finner vi  $N(v)$  ved å ta (1)  $\cdot \sin \theta + (2) \cdot \cos \theta$ :

$$N(v) = \frac{m \sin \theta}{R} v^2 + mg \cos \theta$$

Deretter  $f(v)$  ved å ta  $\pm(1) \cdot \cos \theta \mp (2) \cdot \sin \theta$ :

$$f(v) = \pm \frac{m \cos \theta}{R} v^2 \mp mg \sin \theta \quad (f \geq 0)$$

Skisser:

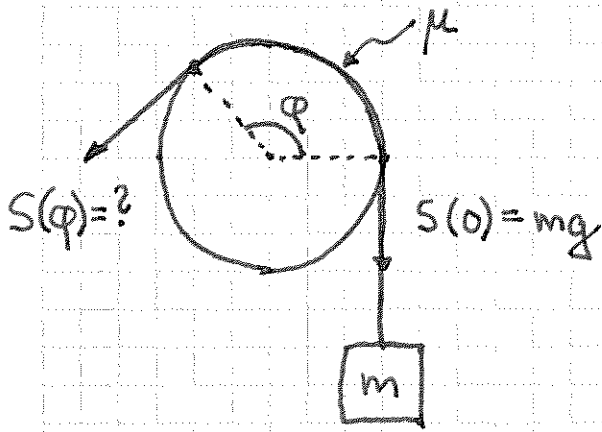


• Ser at  $f=0$  for  $v = v_0 = \sqrt{gR \tan \theta}$ .

• Ser at  $v_{\min} = 0$  hvis  $\mu mg \cos \theta > mg \sin \theta$ , dvs  $\mu > \tan \theta$ . Dvs: Kan stå i ro uten å gli (jf Eks 1).

### Eks 3: Tau rundt sylinder

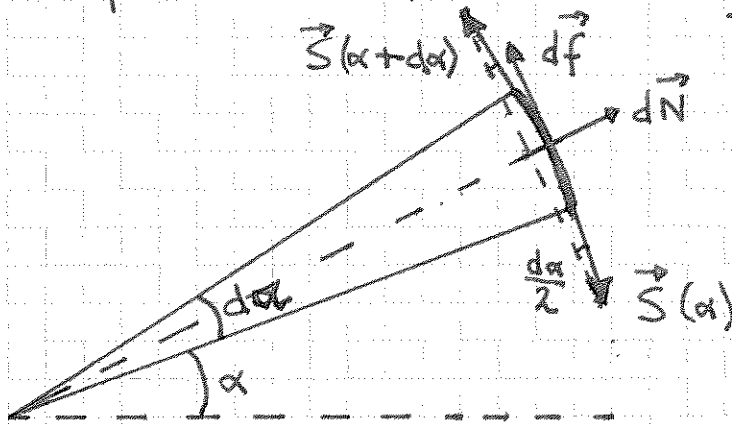
(23)



Demo (med PVC-rør, hyssing og lodd) viser at påkrevd snordrag for å holde lodd oppe, evt heise opp lodd, avhenger sterkt av  $\varphi$ , dvs vinkel med kontakt mellom tau og sylinder. Finn  $S(\varphi)$ .

Her er  $S(\varphi)$  ikke konstant  
 $\rightarrow$  må tenke differensielt

Se på taubit mellom  $\alpha$  og  $\alpha + d\alpha$ :



$d\vec{f}$  = friksjonskraft fra sylinder på taubit

$d\vec{N}$  = normalkraft

$\vec{S}$  = snordrag fra resten av tauet på taubiten

$$N1 \Rightarrow \vec{S}(\alpha + d\alpha) + \vec{S}(\alpha) + d\vec{N} + d\vec{f} = 0$$

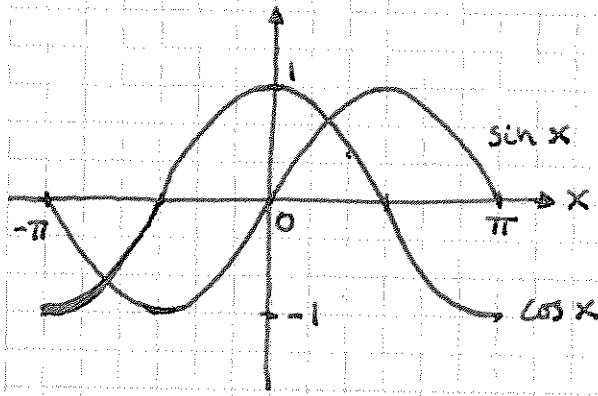
$$\text{Tangentielt: } S(\alpha + d\alpha) \cos \frac{d\alpha}{2} - S(\alpha) \cos \frac{d\alpha}{2} \pm df = 0$$

Øvre fortegn:  $S(\varphi) < S(0) \Rightarrow$  friksjon hindrer lodd å falle

Nedre " :  $S(\varphi) > S(0) \Rightarrow$  " " heising av lodd



Normalt:  $S(\alpha + d\alpha) \sin \frac{d\alpha}{2} + S(\alpha) \sin \frac{d\alpha}{2} - dN = 0$  (24)



Vi ser at, for  $|x| \ll 1$  er  
 $\sin x \approx x$   
 $\cos x \approx 1$

Dessuten:  $S(\alpha + d\alpha) \approx S(\alpha)$   
 $\Rightarrow S(\alpha + d\alpha) + S(\alpha) \approx 2S(\alpha)$

$$S(\alpha + d\alpha) - S(\alpha) = dS$$

Dermed:  $dS \pm df = 0$

$$S d\alpha - dN = 0$$

Lodd i ro inntil  $df = \mu dN$ .

$$\Rightarrow dS = \mp df = \mp \mu dN = \mp \mu S d\alpha$$

$$\Rightarrow \int_{S(0)}^{S(\varphi)} \frac{dS}{S} = \mp \int_0^\varphi \mu d\alpha$$

$$\Rightarrow \ln S(\varphi) - \ln S(0) = \ln \frac{S(\varphi)}{S(0)} = \mp \mu \varphi$$

$$\Rightarrow \boxed{S(\varphi) = S(0) e^{\mp \mu \varphi}} \quad (S(0) = mg)$$

